

حساب الكسب وعامل الضوضاء في مكير الليف الضوئي المطعم بالأربيبيوم عند الحزمة (C) للاتصالات الضوئية

م.م. محمد علي عبد الخالق النعمة
قسم العلوم
كلية التربية الأساسية / جامعة الموصل

تاریخ تسلیم البحث: ٢٠١١/١٢/٢٤؛ تاریخ قبول النشر: ٢٠١١/١١/٢٤

ملخص البحث:

تمت دراسة تأثير طول مكير الليف الضوئي المطعم بالاربيبيوم على كل من قيم الكسب وعامل الضوضاء ضمن الحزمة (C) في الاتصالات الضوئية، وذلك عن طريق استخدام الحاسوب في حل المعادلات التفاضلية الخاصة لكل من الكسب وعامل الضوضاء حلاً عددياً وايجاد حلول عددية لمعادلات المعدل والانتشار. اظهرت الدراسة بأنه عند استخدام الطول الموجي (١٤٨٠ نانومتر) في عملية الضخ، تبين بان طول الليف الضوئي يجب ان لا يقل عن (٩ م) للحصول على كسب عالي (60 dB) وعامل الضوضاء واطئ (-13 dB).

Calculation of Gain and Noise Figure of EDFA at (C) band in optical communication

Asst. Lect. Muhammed Ali Abdulkhaliq
Department of Science
College of Basic Education / Mosul University

Abstract:

We have studied the influence of Erbium Doped Fiber Amplifier length on gain and noise figure values in (c) band of optical communication network. This influence had been studied using computer simulation in solving integral equations and finding numerical solution for rate and propagation equations. The study has revealed that, using of wavelength (1480 nm) in process, the optical fiber should not be less than (9m) to get a high gain (60dB) and low noise figure (-13dB).

المقدمة:

إن من أهم الاختراعات في تسعينيات القرن الماضي في مجال الاتصالات الضوئية هو مكبر الليف الضوئي المطعم بالأربيبيوم (EDFA) و الذي بدوره ساهم بالنتيجة في ولادة لفروع عديدة تصب في مجال عمل Amplifier الشبكات والإنترنت وذلك بسبب بساطة المكبرات وسهولة تعشيقها مع الألياف الضوئية وكذلك صفاتها المثالية (الكسب العالي وقلة الضوضاء) [1]، وهي جزء مهم لا غنى عنه لتعويض الفقدان (Losses) في الليف الضوئي المستخدم في أنظمة نقل الإشارات لمسافات بعيدة [2,3].

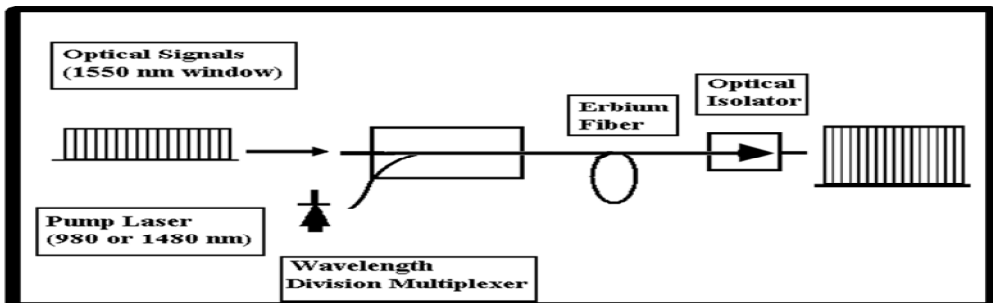
أُقترح طرائق تكبير عديدة ومختلفة لتكبير الإشارة الضوئية ضمن الحزمة C (- 1530 nm - 1565 nm) المستخدمة في الاتصالات لتحسين كفاءة الضخ والحصول على كسب عال لوحدة الطول [4-8].

كما جرت محاولات عديدة لتغطية أطوال موجية أعلى لتصل عند الحزمة L (1565- 1625 nm) من حزم الاتصالات وبالتزامن مع طيف مستمر للكسب [9]. وهناك عدد كبير من الدراسات النظرية والعملية قد نشرت حول اعتماد كل من قيم الكسب (gain) وعامل الضوضاء (NF) على طول الليف الضوئي المطعم بالأربيبيوم وضمن الحزمة C [10,11]، إلا أنها لم تنشر بشكل واضح وجلي إلى الحد الأدنى الذي يعمل به المكبر، ويمكن ملاحظة أكثر النتائج بأن الطول يتعدى (13m) أو أكثر. ولقد قمنا في بحثنا هذا بإيجاد حلول عديدة لمعادلات المعادل (Rate equations) ومعادلات الانتشار (Propagation equations) لحساب الكسب وإيجاد عامل الضوضاء ودراسة تأثير طول مكبر الليف الضوئي المطعم بالأربيبيوم على كل منها، وتبيّن من هذه الدراسة وعند استخدامنا للطول الموجي $1.48\mu\text{m}$ في عملية الضخ ، أن طول الليف المكبر يجب أن يتعدى (9m) لتلافي التبذبات أو التموجات في قدرة الإشارة المرسلة وكذلك الحصول على كسب عال وعامل ضوضاء واطئ.

النظريّة:

مبدأ عمل (EDFA):

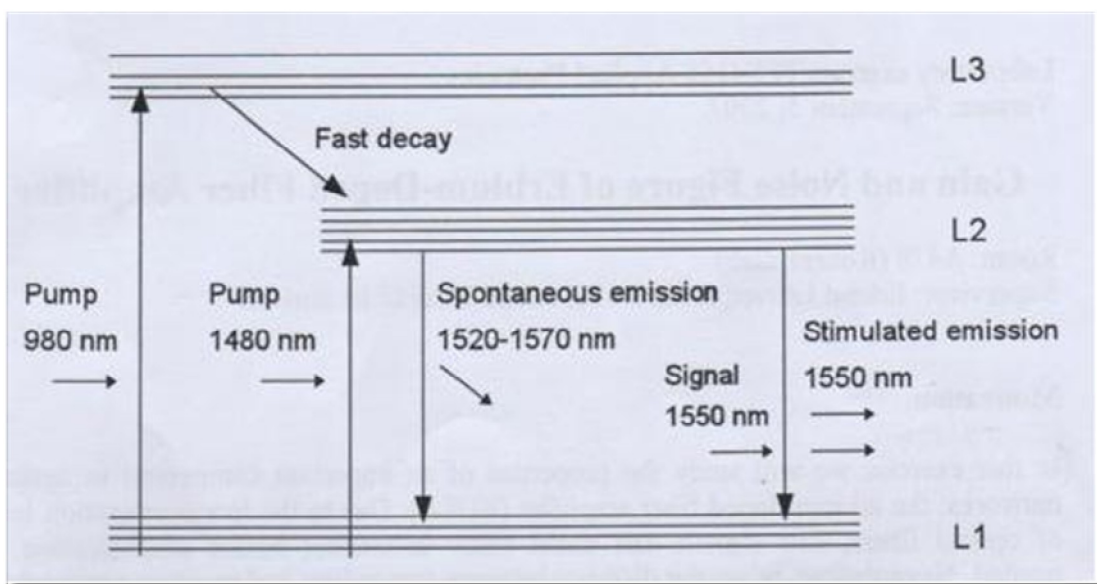
إن العناصر الأساسية لمكّبّر الليف الضوئي المطعم بالأربّيبيوم مبيّنة بالشكل رقم (١)، والذي يتضح منه أن وسط الكسب في المكّبّر مصنوع خصيصاً من ليف ضوئي مطعم بعنصر الأربّيبيوم يضخّ بلزّر شبه موصل ومصحوب بمزدوج لاختيار الطول الموجي ويعمل في الوقت نفسه على تجمييع ضوء الليزر الصاخ والإشارة المرسلة .



شكل رقم (١) شكل تخطيطي لمكّبّر الليف الضوئي المطعم بالأربّيبيوم [12].

علمًا بأن الضوء الصاخ إما أن يتم في اتجاه الإشارة نفسه أو في اتجاه معاكس لها أو بكلّيهما معاً هذا فضلاً عن وجود عازل بصري لمنع التذبذب الذي ينبع عنه زيادة في الضوضاء نتيجة الانعكاسات غير المرغوبة في المنظومة [12]. ومن أجل تهيئة أيونات Er^{+3} يتمّ ضخّ الليف بواسطة شعاع من الضوء فإذا كان الضخ عند الطول الموجي 980nm فأن Er^{+3} سوف يتهدّى من المستوى الأرضي (L1) إلى مستوى أعلى (L3) كما مبيّن في الشكل (٢)، وإنّ الأيونات سوف تضمحلّ بسرعة إلى المستوى (L2) بدون توليد فوتونات وذلك لأنّ زمان العمر في المستوى (L3) $1\mu\text{sec}$ تقريبًا.

أما إذا تمّ الضخّ بواسطة ضوء طول موجته 1480nm فأنّ الأيونات سوف تهيئة مباشرةً إلى المستوى (L2) وإنّ الأضمحلال من (L2) إلى (L1) سوف يحدث بعد مضي 10msec منتجًا فوتونات عند حزمة من الأطوال الموجية 1520 - 1570 nm وهذا ما يسمى بالأنبعاث التلقائي [1].



شكل رقم (٢) مستويات الطاقة لأيون الأريبيوم في مكير الليف الضوئي المطعم [1] عند إرسال إشارة معلومات بطول موجي بين (nm) 1520 - 1570 () إلى الليف الضوئي فإن هنالك ثلاثة احتمالات يمكن أن تحدث لفوتوны الإشارة [1] :-

- ١ - تهيج (Er⁺³) من مستوى (L1) إلى مستوى أعلى ومن ثم حصول (annihilation) في العملية وتض محل الأيونات إلى المستوى الأرضي فتكون النتيجة عبارة عن انبعاث تلقائي.
- ٢ - تحفيز (Er⁺³) في المستوى (L2) للانتقال إلى المستوى (L1) وإنتاج فوتون آخر بنفس الطول الموجي وبنفس اتجاه فوتون الإشارة مما يؤدي إلى تكبير الإشارة الدالة.
- ٣ - أن تتم عملية الضخ بدون أي تأثير على الليف الضوئي.

إن الانبعاث التلقائي ليس له علاقة ترابط بالإشارة وإنما يتم توزيعه على عرض حزمة الانتقال بين (L2) و (L1) بوصفه ضوضاء يمكن أن تنتقل في نفس اتجاه المسار أو في اتجاه معاكس له ، لذلك فمن الواضح أن الناتج من الفقرة (2) أعلاه هو السلوك المرغوب في عملية الضخ والذي يمكن الحصول عليه من ضخ الليف الضوئي وحصول عملية الانقلاب المعكوس.

إن الانبعاث التلقائي موجود ويعاني دائماً تكيراً (كما الإشارة التي تمر عبر الليف) لذلك يطلق عليه انبعاث تلقائي مكير (ASE) Amplified Spontaneous Emission (ASE) علماً بأن مستوى ASE لا يعتمد على الإشارة ذات القدرة الضعيفة بينما تردد قيمته عند الإشارة ذات القدرة العالية مما يؤدي إلى استنزاف الانقلاب العكسي أسرع من عملية الضخ المعمول عليها [1] . كما أن قيمة الكسب في المكير محدد بحقيقة كون عدد أيونات الأريبيوم في الليف محدد أيضاً ، فزيادة قدرة الضخ فوق النقطة التي عندها تهيج كل الأيونات لا يمكن الحصول على كسب إضافي بل يحدث حالة إشباع بالكسب [1] .

معاملات كسب المكابر وعامل الموضوعات :

من تعريف الكسب الذي هو النسبة بين قدرة الإشارة الخارجية الى قدرة الإشارة

الداخلية

$$G = \frac{P_s \text{ out}}{P_s \text{ in}} \quad \dots \dots \quad (1)$$

وارتباطه بمعامل الكسب (Z) (الذي يتغير على طول الليف الصوئي المطعم) فأن اعتماد معامل الكسب على Z يزداد بسبب نضوب الضخ وحصول إشباع بالكب [12] :

$$G = \exp \left(\int_0^l g(z) dz \right) \quad \dots \dots \quad (2)$$

كما أن معامل الكسب يمثل أيضاً مقياس للنمو الموضعي لقدرة الصوئية (Z) وحسب العلاقة التالية [12].

$$g(z) = \frac{1}{p(z)} \frac{dp(z)}{dz} = \rho \Gamma (\sigma_e N_2 - \sigma_a N_1) = \frac{g_0}{(1 + \frac{P_s}{P_{sat}})} \quad \dots \dots \quad (3)$$

علماً بأن N_2 و N_1 عدد أيونات الأيربيوم النشطة للمستويات العليا والدنيا.

ρ كثافة أيون الأيربيوم.

Γ عامل الحصر أو التقييد (Confinement factor).

وهو مقياس للترافق بين مجال الإشارة والقلب المطعم (doped core).

σ_e ، σ_a المقاطع العرضية (cross-sections) للأنبعاث والامتصاص σ_a عند التردد لا .

P_{SAT} قدرة الأشباع.

P_s قدرة الإشارة.

فعندما تصل قدرة الإشارة الى حد الإشباع فأن الكسب سوف يقل الى نصف معامل كسب الإشارة الصغير (g_0) والذي له علاقة بقدرة الضخ P_p وحسب العلاقة التالية [12] :

$$g_0 = \frac{\rho \Gamma \sigma_e (P_p - P_{th})}{P_p + P_{th} (\frac{\sigma_e}{\sigma_a})} \quad \dots \dots \quad (4)$$

التي فيها حد العتبة لقدرة الضخ (P_{th}) يعطى بالعلاقة [12] :

$$P_{th} = \frac{\sigma_a}{\sigma_e} \left(\frac{h\nu_p A}{\Gamma_p \tau \sigma_p} \right) \quad \dots \dots \quad (5)$$

- فان τ — زمن عمر الانبعاث التلقائي لمستوي الطاقة العلوى.
 A — مساحة قلب الليف .
 h — ثابت بلانك.

والكسب يكون ذا قيمة سالبة عندما تكون قدرة الضخ أقل من P_{th} ويصل قيمته العظمى $\mu\Gamma\sigma_0$ عند قدرة ضخ عالية.

ولإيجاد عامل الضوضاء (NF) الذي هو مقياس لقيمة الضوضاء التي أضافها المضخم للإشارة الداخلية يمكن استخدام العلاقة[12] :

$$NF = \frac{SNR_{in}}{SNR_{out}} \dots \quad (6)$$

حيث SNR — نسبة الإشارة إلى الضوضاء (Signal to noise ratio) وللأنبعاث التلقائي المكبر (ASE) فإن قيمة SNR_{out} (عند خرج المضخم) أقل من SNR_{in} ، أما اذا كانت الأشارة أقوى من الضوضاء فإن (NF) يمكن كتابتها بالشكل التالي[1].

$$NF = \left(1 + \frac{2P_{ASE}}{hv\Delta v_{sp}} \right) \frac{1}{G} \dots \quad (7)$$

علمًا بأن P_{ASE} — قدرة الضوضاء للأنبعاث التلقائي المكبر .
 Δv_{sp} — عرض الحزمة لمكبر الليف الضوئي المطعم بالأربيبويم .
 v — تردد الضوء

ان مقدار كل من الكسب وعامل الضوضاء غالباً ما تعطى بوحدة dB أي :

$$G (dB) = 10 \log_{10} (G) \dots \quad (8)$$

$$NF (dB) = 10 \log_{10} (NF) \dots \quad (9)$$

بسبب كون زمن عمر الأيون في المستوى الثالث $1\mu\text{sec}$ أقل بكثير من زمن عمر الأيون في المستوى الثاني فمن المعقول إهمال الكثافة العددية N_3 للمستوى الثالث مقارنة بالمستوى الثاني وتقليل نظام مستويات الطاقة الثلاثي لأيون الأربيبويم وجعله نظاماً ثنائياً عندما يتم الضخ بطول موجي (1480 nm) [13] .

وبما أن معادلات المعدل والانتشار مبنية على أساس مستويات الطاقة وتوضح تأثير الامتصاص والأنبعاث المحفز والتلقائي على عدد الأيونات في المستوى الأول N_1 والمستوى الثاني (شبه المستقر) N_2 فإن معادلات الانتشار تعطى بالعلاقة الآتية [13].

$$\frac{dP_p}{dz} = -\Gamma \sigma_a(\lambda_p) N_1(z) P_p \dots \dots \dots \quad (10)$$

$$\frac{dP_s}{dz} = \Gamma(N_2(z) - \sigma_a(\lambda_s) N_1(z)) P_s \dots \dots \dots \quad (11)$$

علمًا بأن P_p و P_s قدرة الضخ والإشارة على التوالي.

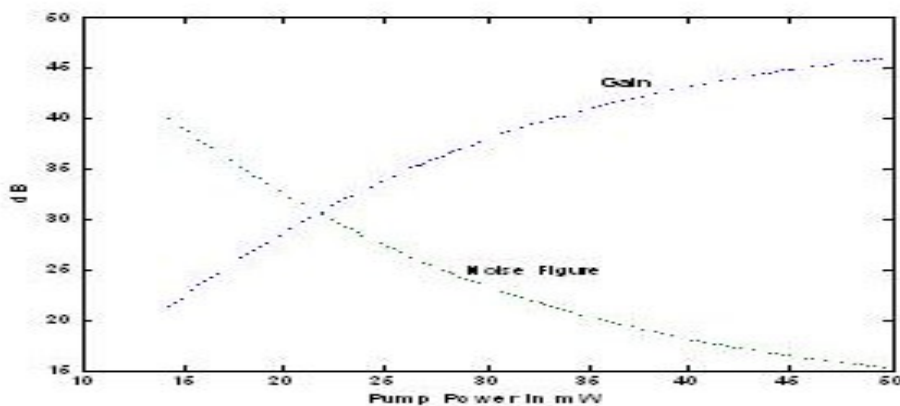
النتائج والحسابات

لتوضيح تأثير قدرة الضخ وطول مكير الليف الضوئي المطعم بالأرريبيوم على كل من قيم الكسب وعامل الضوضاء عند الحزمة (C)، قمنا باستخدام الحاسوب بحل المعادلات المذكورة آنفاً والخاصة بقيم الكسب وعامل الضوضاء (بعد التعويض عن قيم جميع الثوابت المستخدمة في المعادلات) وحسب ما مذكور بالجدول رقم (1) أدناه.

جدول رقم (1) يبين قيم الثوابت المثالية المستخدمة في حل المعادلات [14].

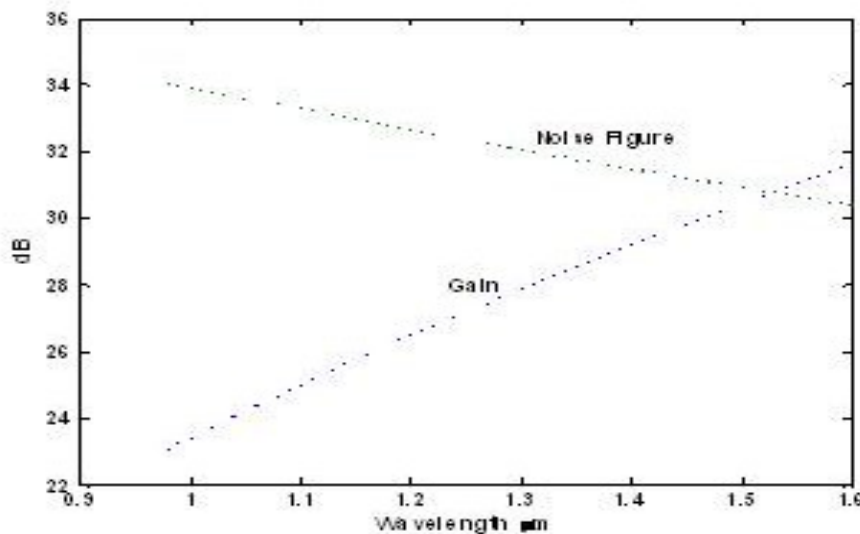
الوحدة	القيمة	الرمز	الثابت
μm	2	r	- نصف قطر الليف
	0.4	Γ	عامل الحصر
m^2	2.4×10^{-25}	σ_a	المقطع العرضي للامتصاص
m^2	3.8×10^{-25}	σ_e	المقطع العرضي للانبعاث
nm	1480	λ_p	الطول الموجي الضاغ
nm	0.15	λ_s	الطول الموجي للإشارة
msec	10	τ	زمن الانبعاث التقائي
m^{-3}	1×10^{25}	ρ	كثافة أيون الأرريبيوم Er^{+3}
mW	90	P_{sat}	قدرة الإشباع
mW	40	P_p	قدرة الضخ
nm	90	Δu_{sp}	عرض الحزمة لمكير الليف الضوئي

ومن ثم رسم تلك العلاقات والأشكال والتي سيتم توضيحها في أدناه :
 الشكل رقم (٣) يوضح العلاقة بين الكسب وعامل الضوضاء عند الحزمة C كدالة لقدرة الضخ، وعند طول ليف قدره (8m) وفيه قدرة الأشباع (90mw) والطول الموجي للإشارة 1540nm . كما متوقع فإن الكسب يزداد ويقل عامل الضوضاء بزيادة قدرة الضخ ويبدأ بالوصول إلى حد الأشباع عند قدرة تزيد عن 50mW كما يتضح من الشكل بأنه يجب الأبعداد عن قيمة ضخ أقل من 22mW تكون عامل الضوضاء كبيرة جداً وأكبر من الكسب وهذه النتائج تتفق مع العديد من البحوث والمقالات المنصورة في هذا المجال .[14]



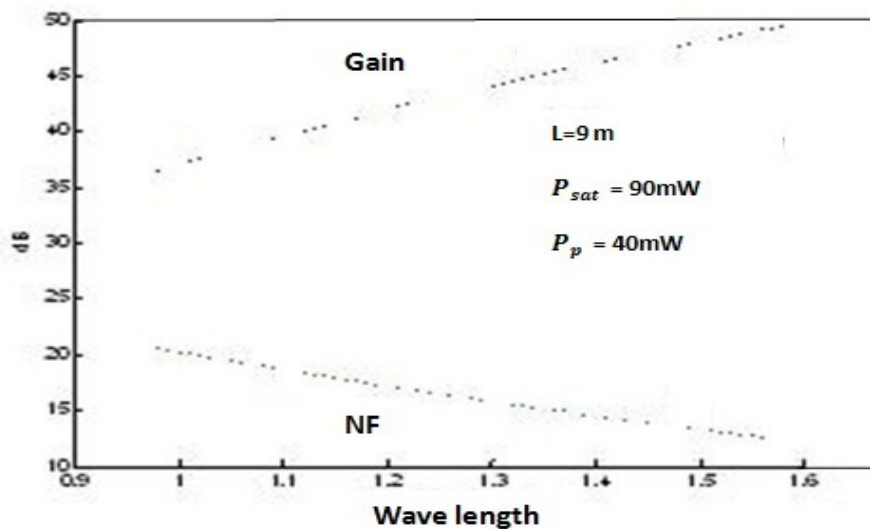
شكل رقم (٣) : العلاقة بين الكسب وعامل الضوضاء كدالة لقدرة الضخ

تم رسم الشكل رقم(٤) لبيان تأثير الطول الموجي لليزر الضخ على كل من الكسب وعامل الضوضاء عند قدرة ضخ ثابتة (40mW) وطول ليف قدره (6m) حيث يلاحظ من الشكل بأن قيمة عامل الضوضاء تكون عالية والكسب واطئ عند الأطوال الموجية دون منطقة الحزمة C (والتي يتم العمل فيها في هذا البحث) ، والذي يؤكّد صحة المحاكاة النظرية للمعادلات المستخدمة.



شكل رقم (٤) : العلاقة بين الكسب وعامل الضوضاء كدالة لطول موجة الضغط ولطول (6m).

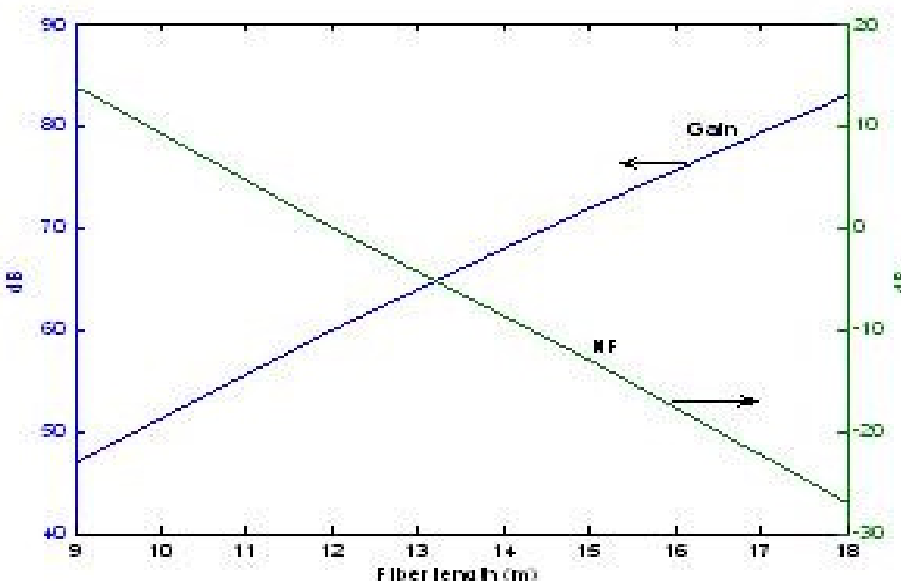
تم الحصول على اكبر كسب ممكن وأقل عامل ضوضاء عند قدرة ضغط (40mW) ولطول (9m) من خلال الرسم البياني الموضح بالشكل رقم (٥) الذي يلاحظ فيه بأن الكسب قد أزداد (في منطقة الحزمة C) أكثر من (47dB) وعامل ضوضاء (13dB).



شكل رقم (٥) : العلاقة بين الكسب وعامل الضوضاء كدالة لطول موجة الضغط ولطول (9m).

وبتبين من هذه النتائج بأن طول الليف المكبر يجب أن لا يقل عن (9m) ، وهذا ينطبق مع معظم نتائج البحوث المنشورة التي يكون فيه طول الليف الضوئي المكبر دائماً بحدود 13m أو أكثر [15].

رسم الشكل رقم (٦) لبيان العلاقة بين الكسب وعامل الضوضاء كدالة لطول الليف الضوئي المطعم بمادة الأريليوم والذي سيعمل كمكبر عند ضخه بقدرة ثابتة (40mW) وطول موجي (1480nm) ، اذ يلاحظ أن الكسب يزداد مع الطول بينما عامل الضوضاء في حالة نقصان عند الأطوال التي تزيد عن (9m)، وعليه يمكن القول أن من الأفضل استخدام طول الليف المكبر بما يزيد عن 9m والأفضل أن يكون أكثر من (13m) ليصبح مقدار الكسب يزيد عن (60dB) وعامل الضوضاء أقل من (-10dB).

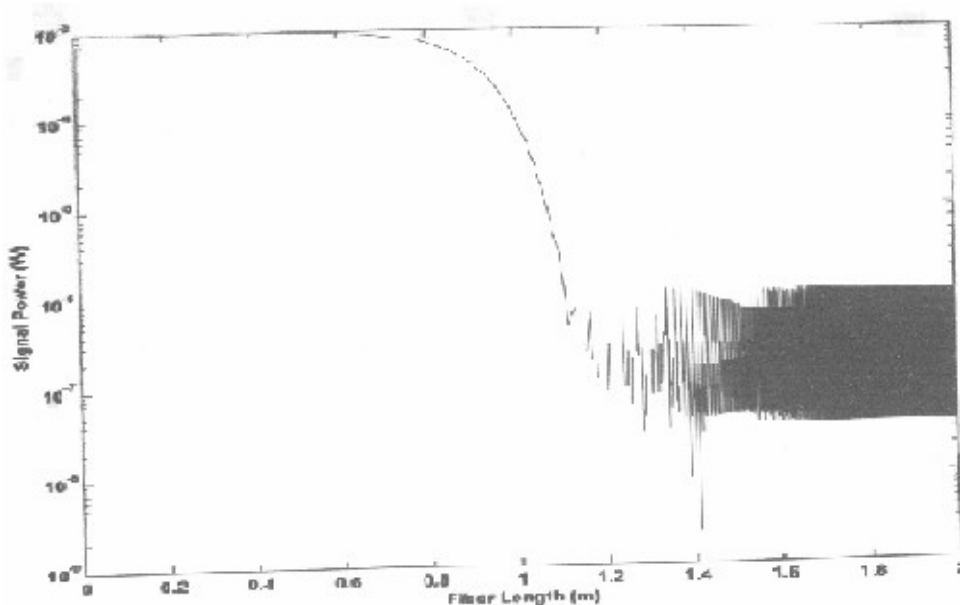


شكل رقم (٦): العلاقة بين الكسب وعامل الضوضاء كدالة لطول الليف الضوئي المكبر

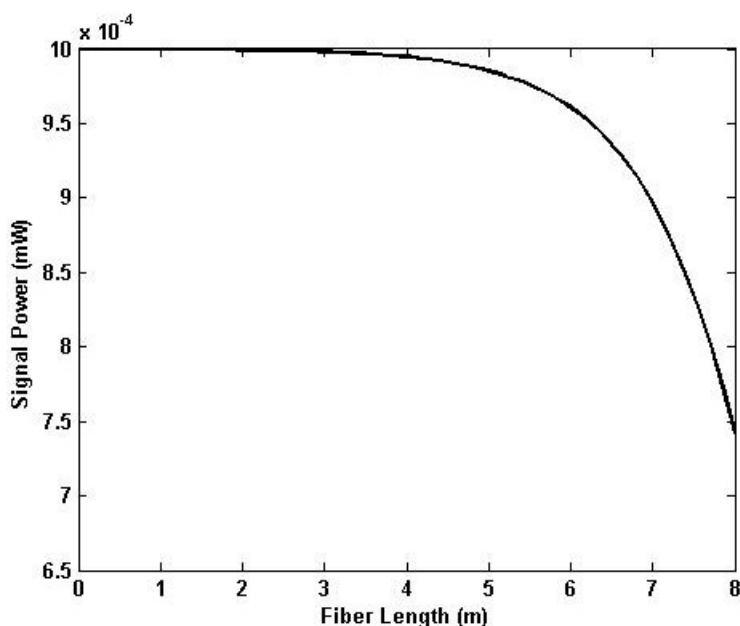
تم حل معادلات الانتشار (١٠ و ١١) عدديا لإظهار تأثير طول الليف على قدرة الإشارة الدخلة الى المكبر والشكل رقم (٧) يمثل النتائج العددية لهذه المحاكاة ، ويلاحظ منه أن الإشارة الدخلة بقدرة (1mW) قد تنقصت بشكل كبير مع ظهور تذبذبات (fluctuations) عند طول مكبر (1m) وتلاشت هذه القدرة الى أقل من ($1\mu\text{W}$).

حلت المعادلات مرة أخرى ولنفس العلاقة السابقة ولكن طول المكبر يمتد الى (8m) وكما موضح بالشكل رقم (٨) والذي يتضح منه أن قدرة الإشارة الخارجية من المكبر وبالبالغة (1mW) أصبحت بحدود (0.75mW) وهي لا تمثل الحالة المثالية التي نحن بصددها ولكن فقط لبيان أن الأطوال الصغيرة من الليف تولد تذبذبات كثيرة في الخرج مما يستدعي التركيز على الأطوال التي تزيد على (8m) . إن هذه التذبذبات التي ظهرت في طيف الإشارة الخارجية ليست ناشئة من (ASE) بل هي تذبذبات أو ضوضاء متأصلة في مادة

الليف المطعم بمادة الأريبيوم والتي تجعل القدرة تتناقص بشكل كبير مسببةً قصور في نقل الإشارة إلى مسافات بعيدة .



شكل رقم (٧) : يمثل العلاقة بين قدرة الإشارة الدخلة إلى المكبر وطول الليف الضوئي لا يتجاوز $2M$



شكل رقم(٨) : يمثل العلاقة بين قدرة الإشارة الدخلة إلى المكبر وطول الليف الضوئي يمتد إلى $8M$

الاستنتاجات

أظهرت هذه الدراسة العديد من الاستنتاجات من أهمها :
 عندما يكون طول موجة الإشارة المنقلة خلال الليف الضوئي الأحادي النمط ضمن الحزمة (C) فإن قدرة الأشباع لمكابر الضوئي المقترب مع الليف تصل إلى (50 mW).
 عند استخدام طول موجي للضوء (1480 nm) وقدرة ضخ (40 mW) يمكننا الحصول على كسب يزيد عن (60dB) وعامل ضوضاء أقل من (-10dB) بشرط أن لا يقل طول المكابر عن (9m).

بيّنت المحاكاة النظرية لمعادلات المعدل وجود تذبذبات (Fluctuations) عند استخدام أطوال صغيرة لمكابر الليف EDFA بطول (2m).

المصادر:

- 1) P.C Becker , N.A.Olsson,J.R.Simpson : Erbium-Doped Fiber Amplifiers; Fundamentals and Technology,Academic Press,San Diego,1999.
- 2) Y.Sun,A.K.Srivastava,J.Zhou and J.W.Sulhoff, “Optical fiber amplifiers for WDM optical networks”,Bell Labs Tech.J.,VOL. 4,pp. 187-206,1999.
- 3) M.N.Islam,”Raman amplifier for tele communications”, IEEE ,VOL 8,2002.
- 4) M.A. Mahdi, F.R.M Adikan , S.Selvakennedy, W.Y. Chan, “Long wavelength EDFA gain enhancement through 1550nm band signal injection” Optics Comm.,VOL.176,pp.125-129, 2000.
- 5) Y.Zhang,X.Liu,J. Peng, X. Feng, W.Zhang, “Wavelength and power dependence of injected C-band laser on pump conversion efficiency of L-band EDFA”,IEEE Photon. Technol.Lett.,VOL. 14,pp.290-292, 2002.
- 6) C.Jiang,W.Hu, Q.Zeng ,S.Xiao ,”Novel split-band erbium doped fiber amplifier”,Optics and Laser Technol.,VOL.35,pp.251-256,2003.
- 7) H. Chen, M. Leblanc , G.W. Schinn,” Gain enhanced L-band optical fiber amplifiers and tunable fiber lasers with erbium doped fibers ”, Opt.Commun.,VOL.216,pp.119-125,2003.
- 8) A.Altuncu, A.Başgümüş, M.A. Ebeoğlu, " Gain enhancement in L band loop EDFA through C band signal injection", IEEE Photon.Techol.Letters.2005.
- 9) F.A. Flood,"L-band erbium doped fiber amplifiers",Tech. Digest OAA99,1999.

- 10) E.Desurvire, Erbium-doped fiber amplifier principles and application, New York: Wiley,1994.
- 11) C.R.Giles and E.Desurvire."Modeling erbium doped fiber amplifiers". IEEE J.Light Wave Technol.VOL 9, pp. 271, 1991.
- 12) A.K.Dutta, WDM Technologies Passive Optical Components, Academic Press, VOL2 ,USA, 2006 .
- 13) A.Yariv, Photonics . Optical Electronics in Moderen Communications ,⁶th Edition,Oxford University Press ,USA,2007.
- 14) A.c.Okrak,A.Altuncu , " Gain and Noise Figure Performance of Erbium Doped Fiber Amlifieres ". Journal of Electrical and Electronics Engineering.VOL4 , pp.1111-1122 , 2004.
- 15) A.A.Rieznik,W.A.Aremano,G.S.Wiederhecker, “ Gain and Noise Figure Dependence on the fiber length”,IEEE,pp115-120, 2003 .

This document was created with Win2PDF available at <http://www.daneprairie.com>.
The unregistered version of Win2PDF is for evaluation or non-commercial use only.